

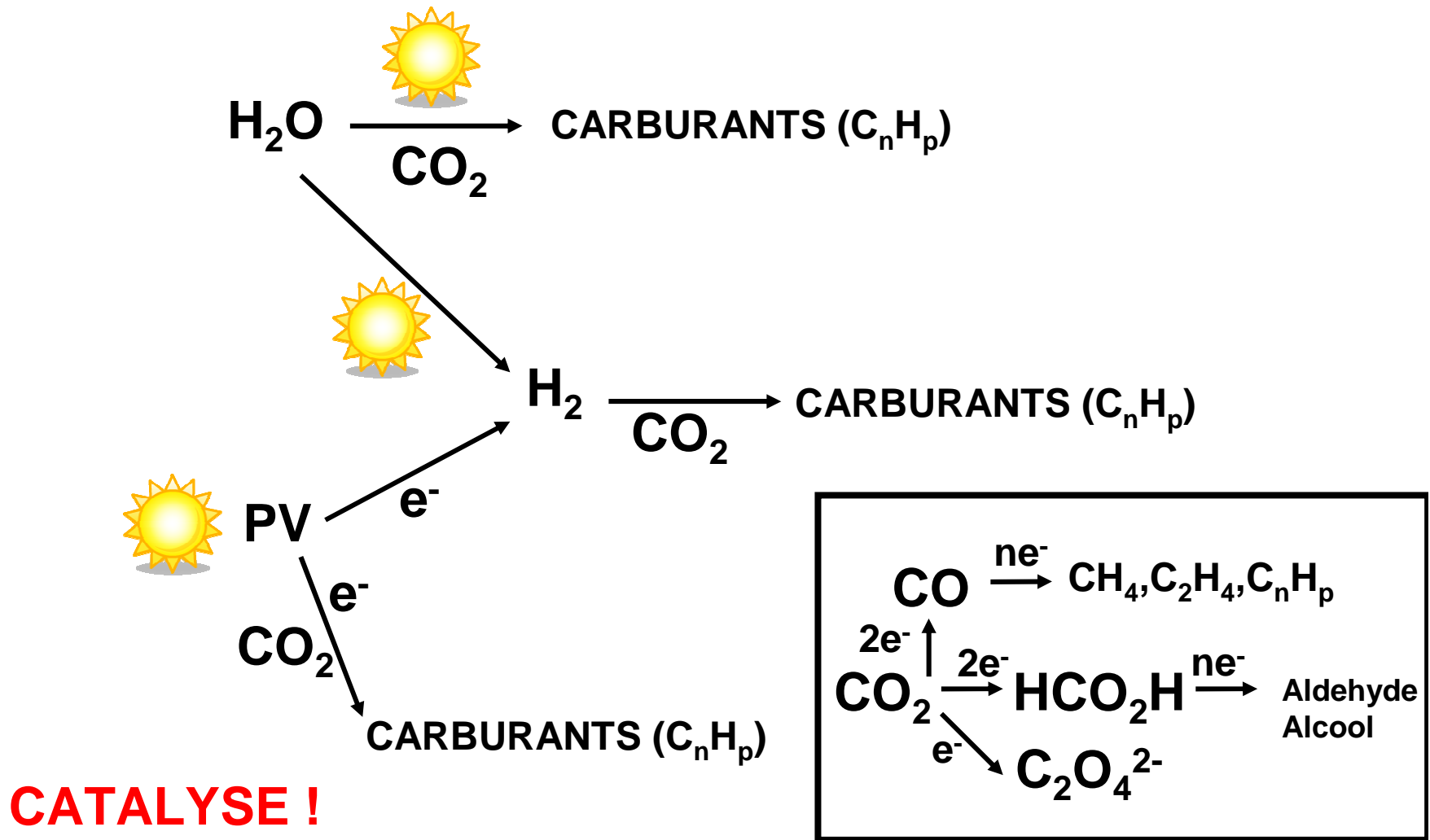
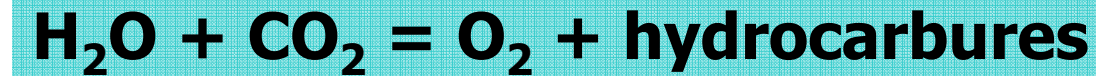
CO₂, une source de carbone abondante : activation et réduction

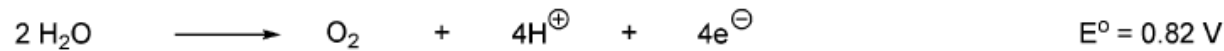
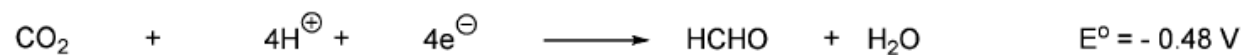
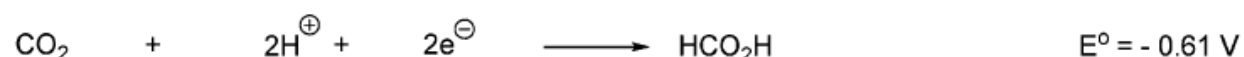
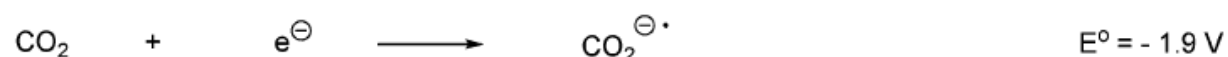
Marc Fontecave

*Laboratoire de Chimie et Biologie des Métaux, Université Joseph Fourier, CNRS, CEA/DSV/iRTSV
CEA-Grenoble 17 rue des martyrs 38054 Grenoble cedex 9, France
mfontecave@cea.fr; Phone: (0033)438789103 ; Fax: (0033)438789124*

Collège de France, 11 Place Marcelin Berthelot, 75231 Paris Cedex 05

Futur: photosynthèse artificielle !

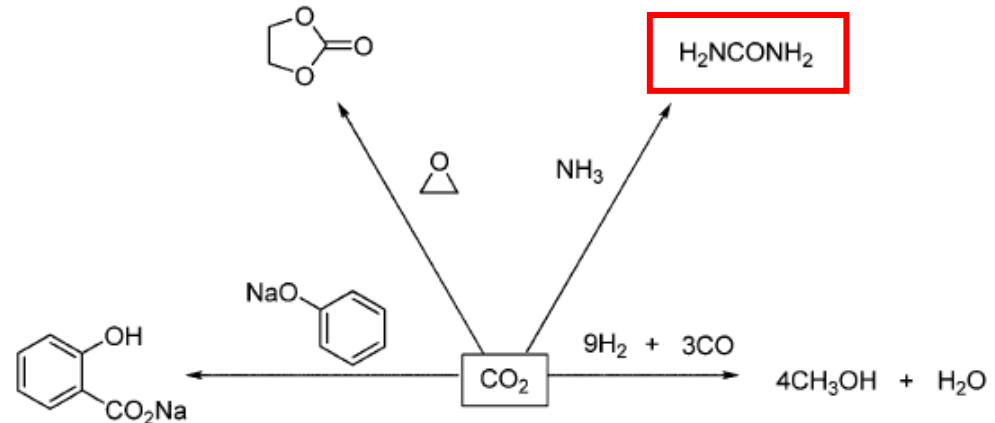
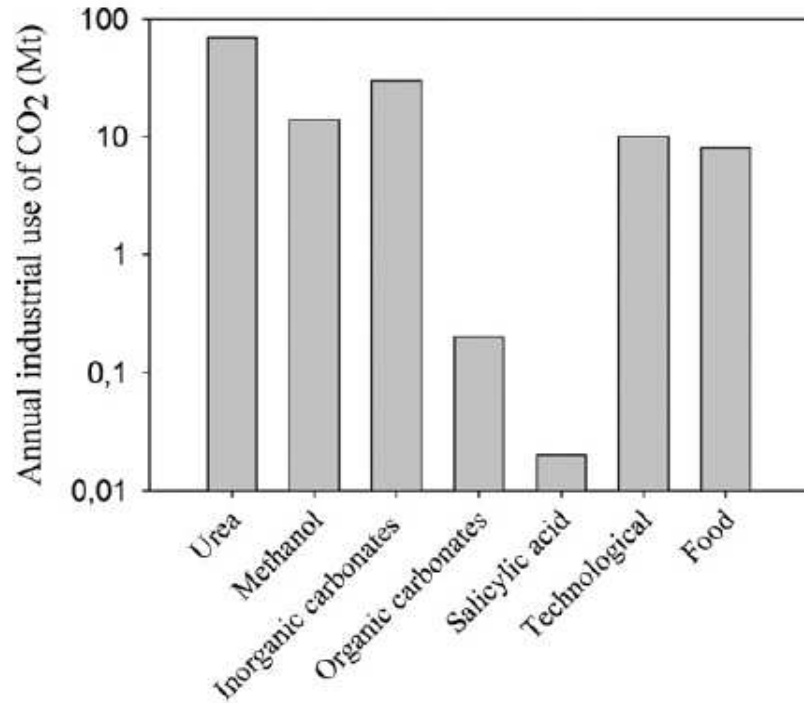




ENH, pH 7

CO₂ et Industrie

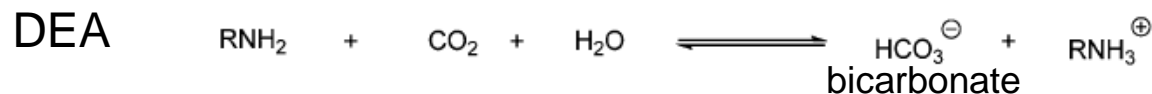
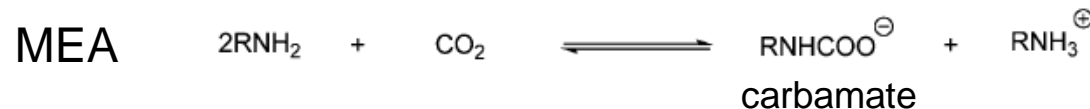
- Atmosphère 2800 Gt CO₂ (385 ppm)
- reste des ressources fossiles carbonées ~ 6000Gt CO₂
- Production anthropogénique 25 Gt/an
- Industrie: 120 Mt/an (0.5% des émissions anthropogéniques)



Scheme 1 Industrial syntheses with CO₂.⁸

Capture et stockage

- ➡ Absorption dans une solution liquide (mono ou di-éthanolamine) puis chauffage pour récupérer CO₂



- ➡ Adsorption par des solides poreux (zéolithes)

- ➡ Incorporation dans des membranes polymères

Capture et stockage (800 Gt en excès)

Table 8 Estimated storage capacities for various sequestration options.^{257,258}

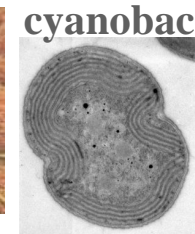
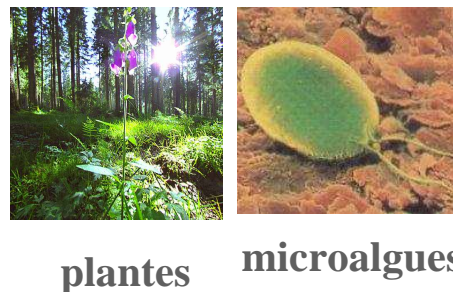
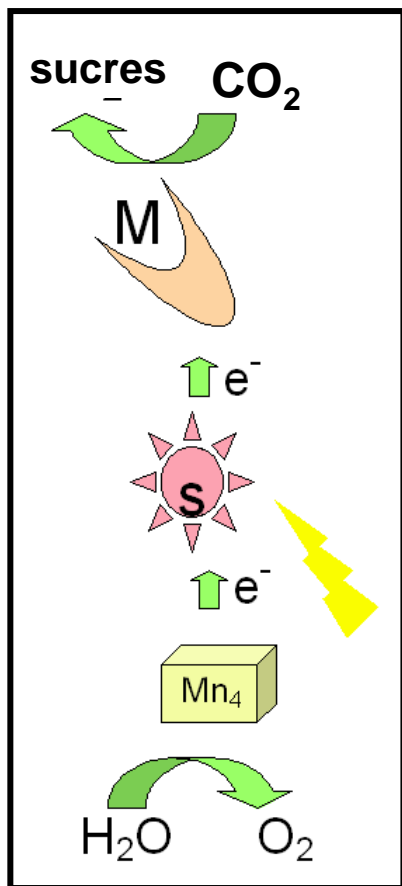
Sequestration option	Worldwide capacity (order of magnitude in Gt-carbon)
Mineral carbonates	10 000s–1 000 000s GtC
Ocean	1000s GtC
Deep saline formations	100s–1000s GtC
Depleted oil and gas reservoirs	100s GtC
Coal seams	10s–100s GtC
Terrestrial	10s GtC
Enhanced oil recovery	10s GtC
Utilization (chemical conversion)	<0.1 GtC per year

Carbonation
minérale

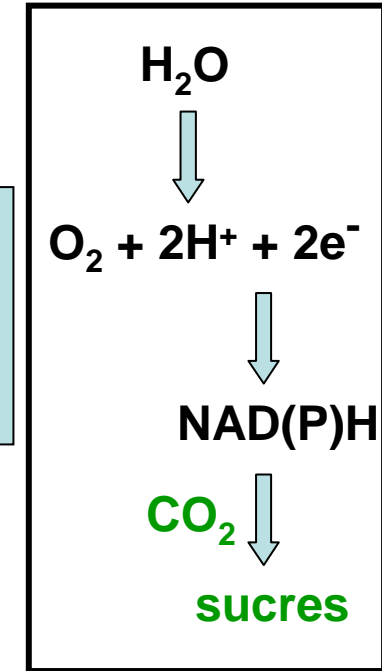


The solution of a mineral (olivine) in order to react with bicarbonate ions to give solid carbonate.

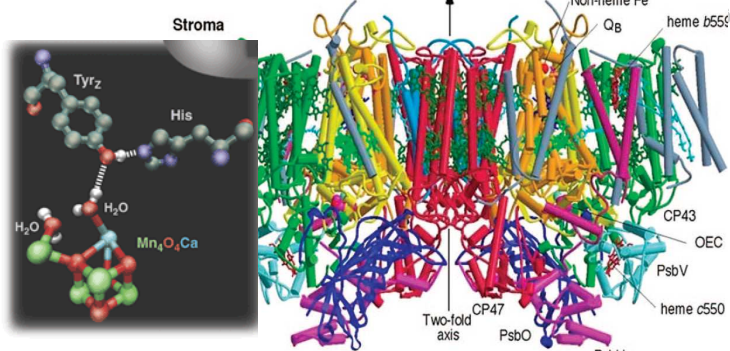
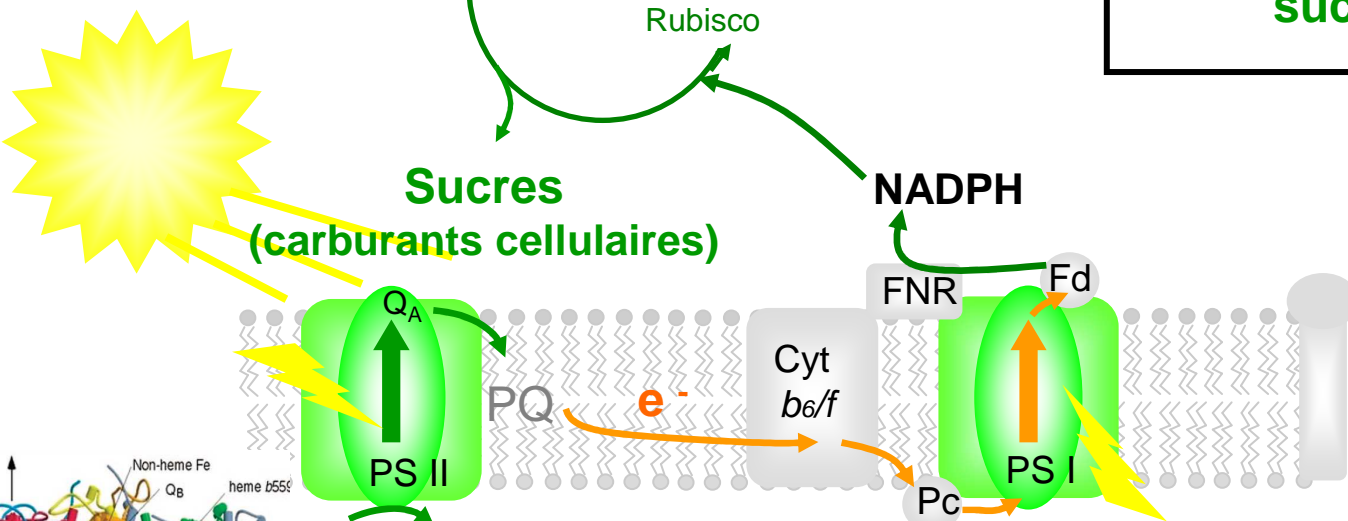
CO₂ et réactions biologiques



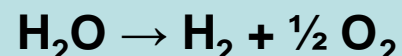
e⁻ + H⁺ stockage:
-H₂
-Sucres,..



microrganismes
photosynthétiques

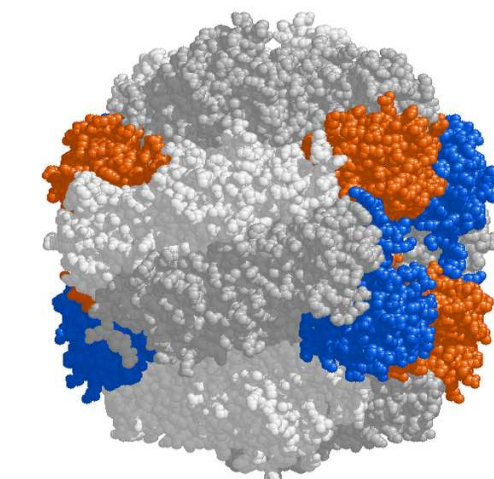
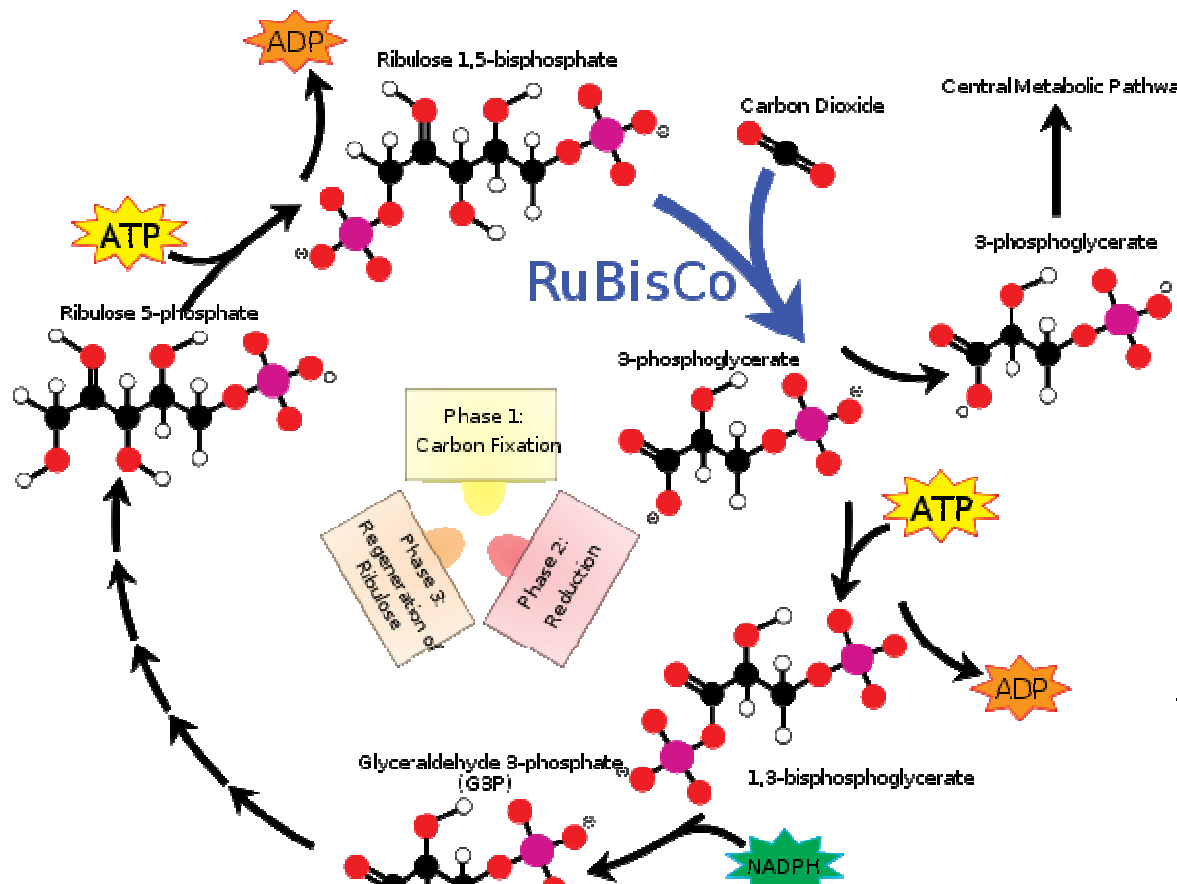


Le stockage de l'énergie:
décomposition de l'eau

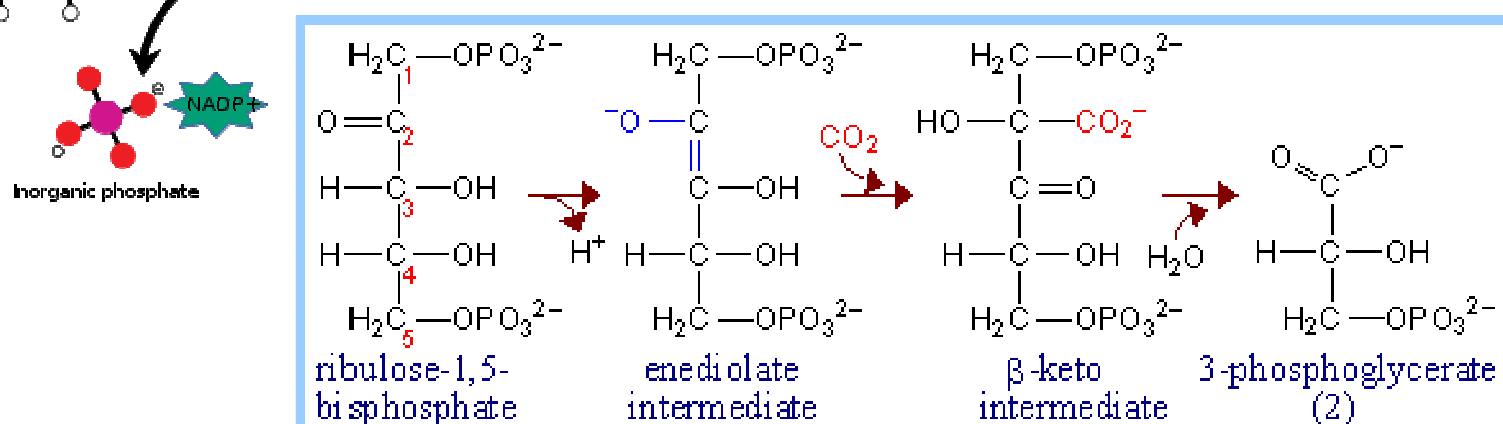


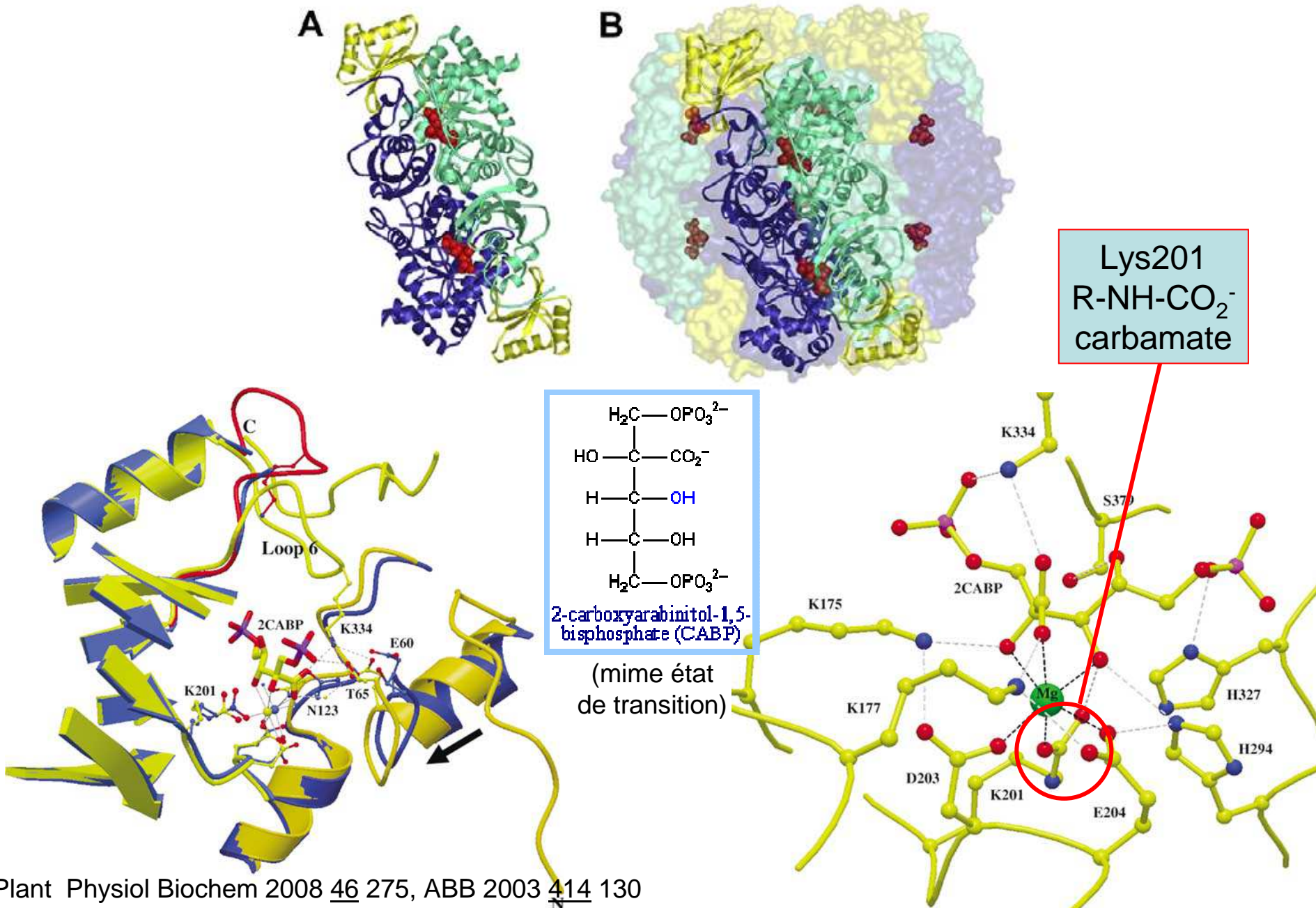
$$\Delta E = 1.23 \text{ V}$$

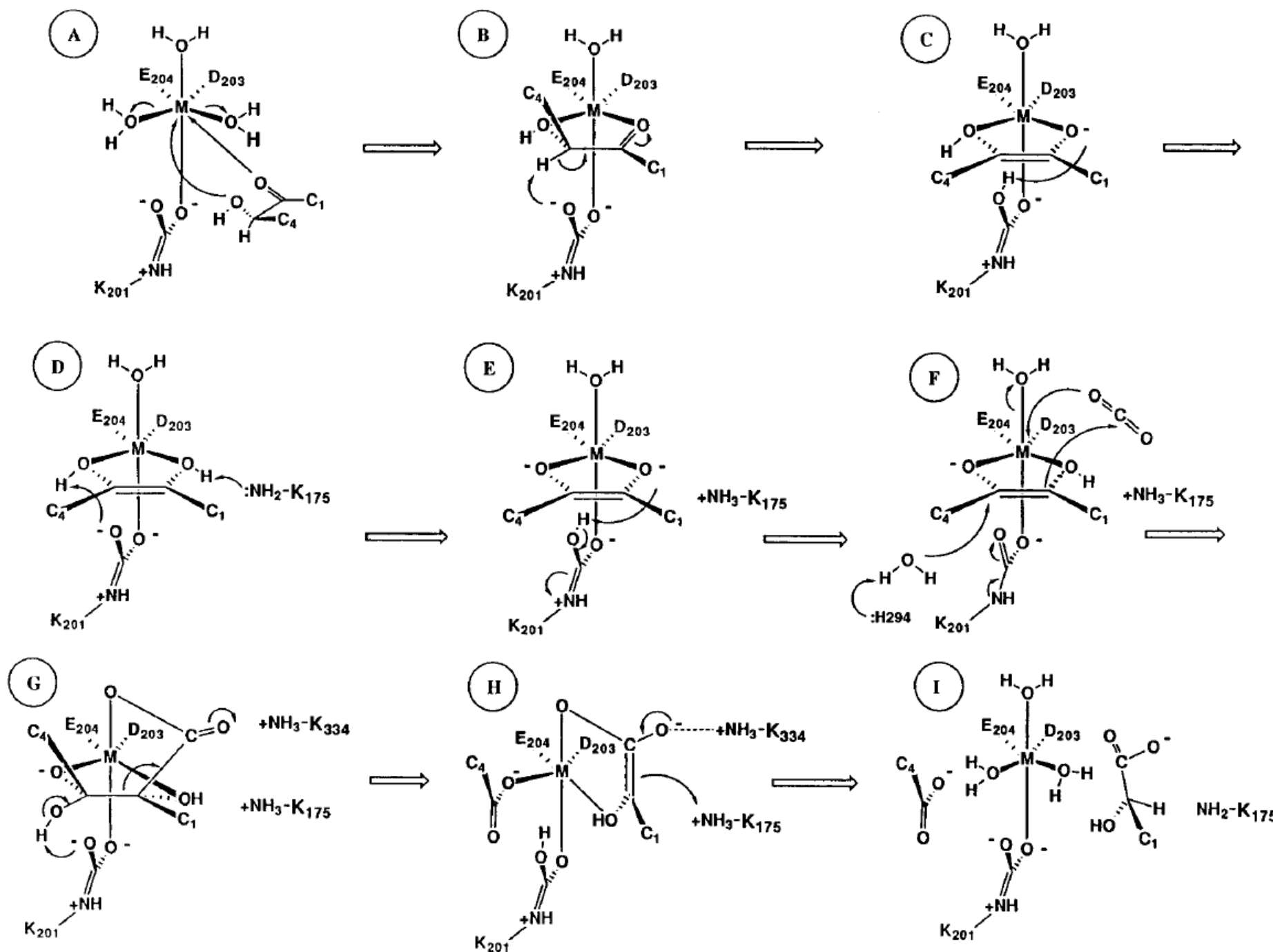
$$\Delta E = 1.24 \text{ V}$$



Ribulose1,5-biphosphate carboxylase



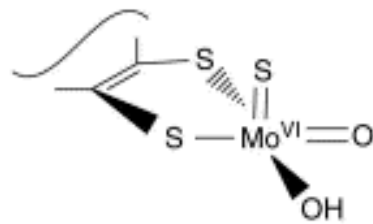




Formiate déshydrogénases: des enzymes à Mo et W

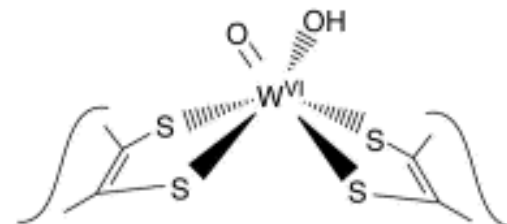
(a) Molybdenum enzyme families

The xanthine oxidase family

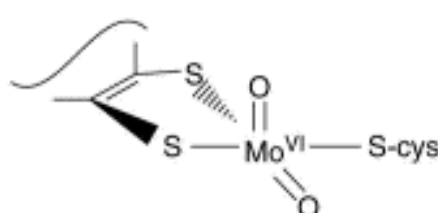


(b) Tungsten enzyme families

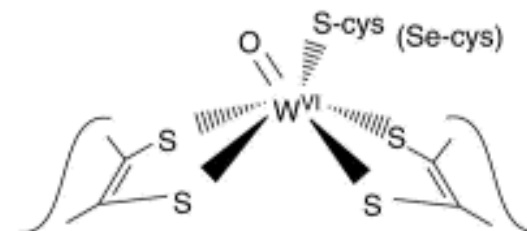
The aldehyde:ferredoxin
oxidoreductase family



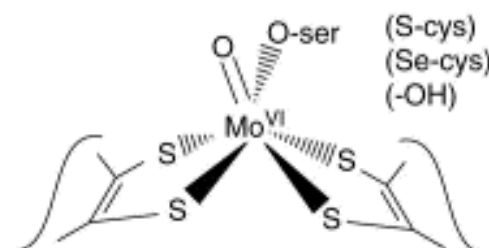
The sulfite oxidase family



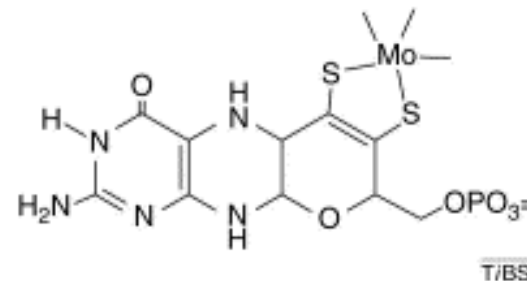
The formate dehydrogenase family



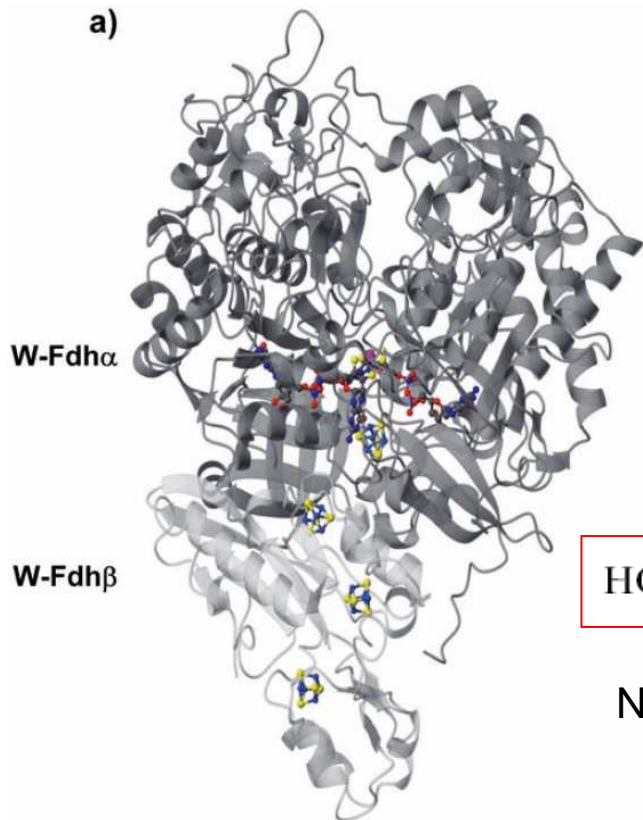
The DMSO reductase family



(c) The pterin cofactor

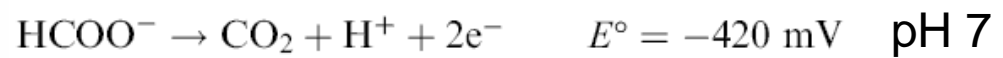


a)

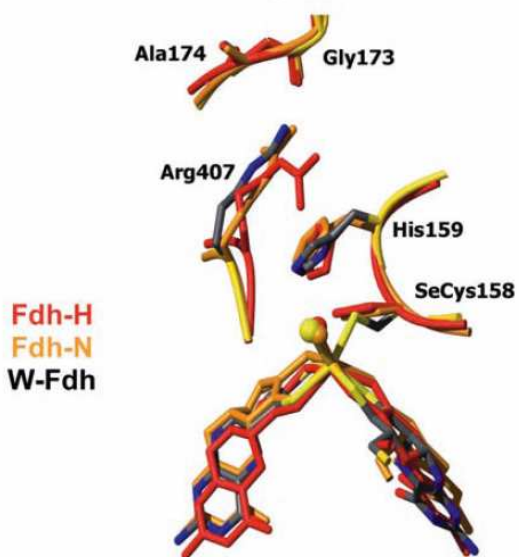


Formiate déshydrogénases

Syntrophobacter fumaroxidans)

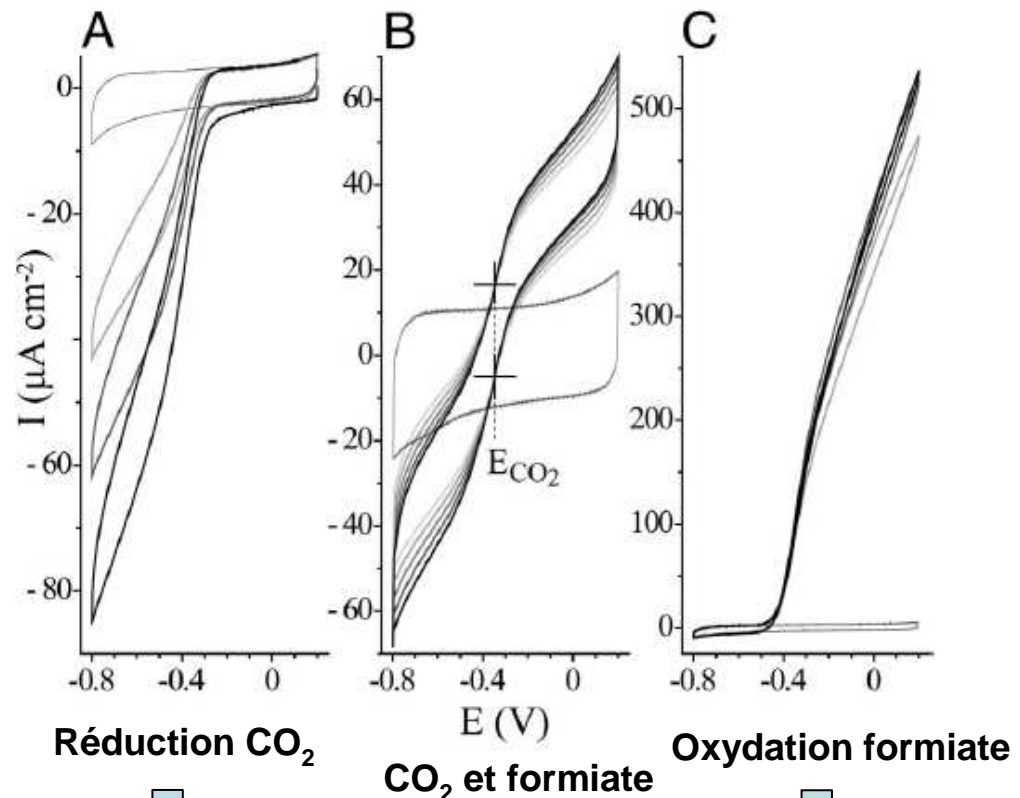
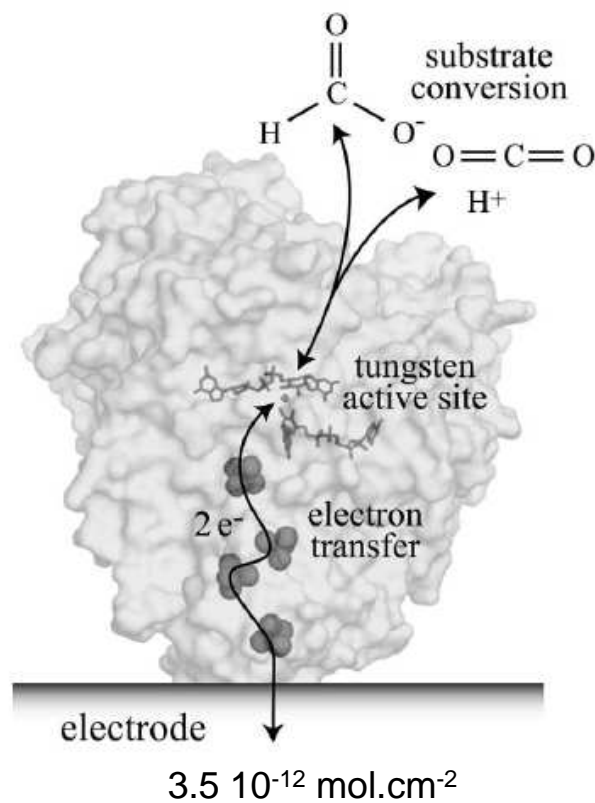


b)



Oxydation HCOO^- : 3380 s^{-1}
Réduction de CO_2 : 282 s^{-1}
($\text{MV}^{2+}/\text{MV}^+$)

Electroréduction enzymatique de CO₂

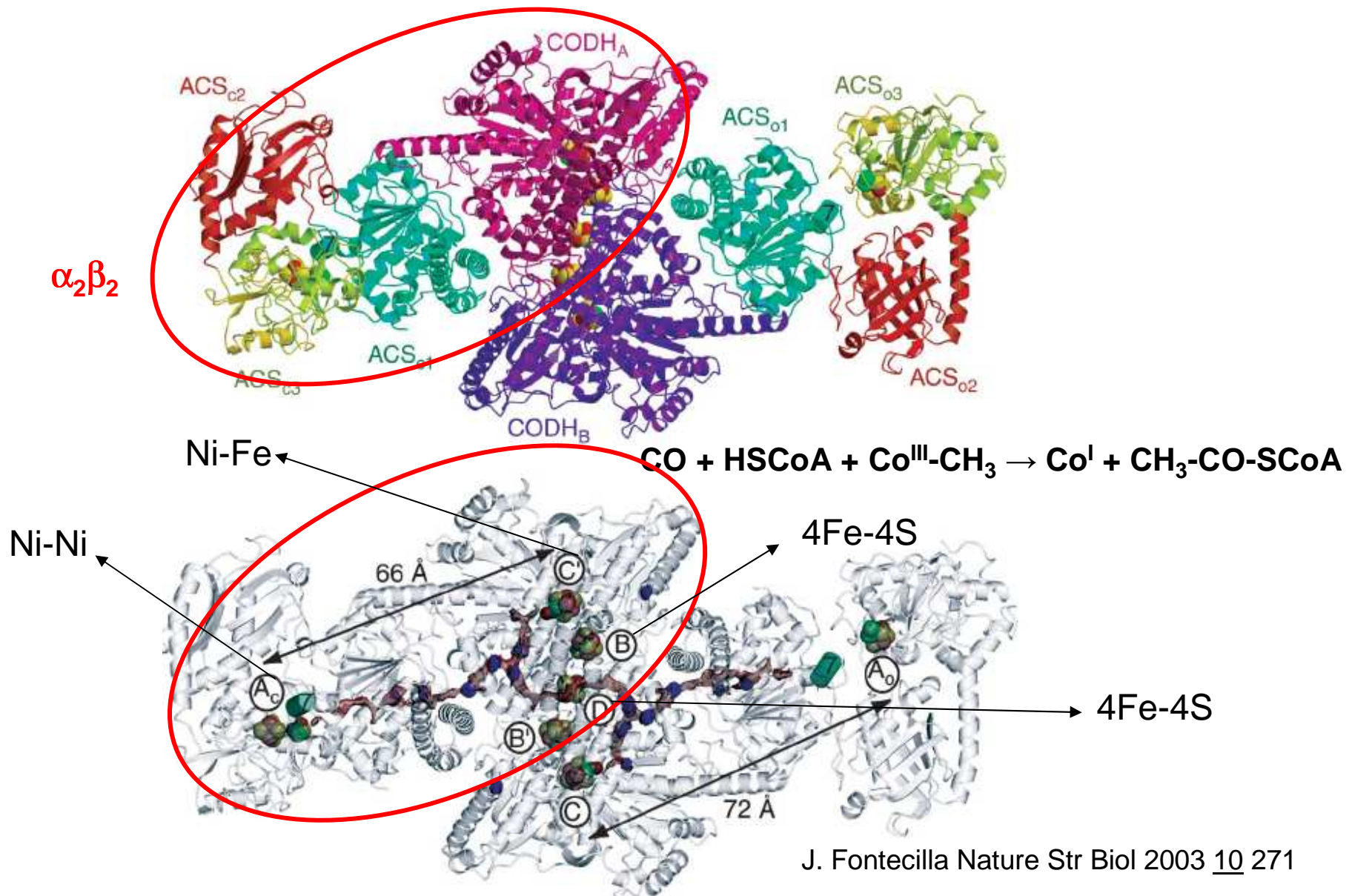


-0.8 V, pH 5.9
0.08 mA.cm⁻²
112 s⁻¹
40000 cycles/h

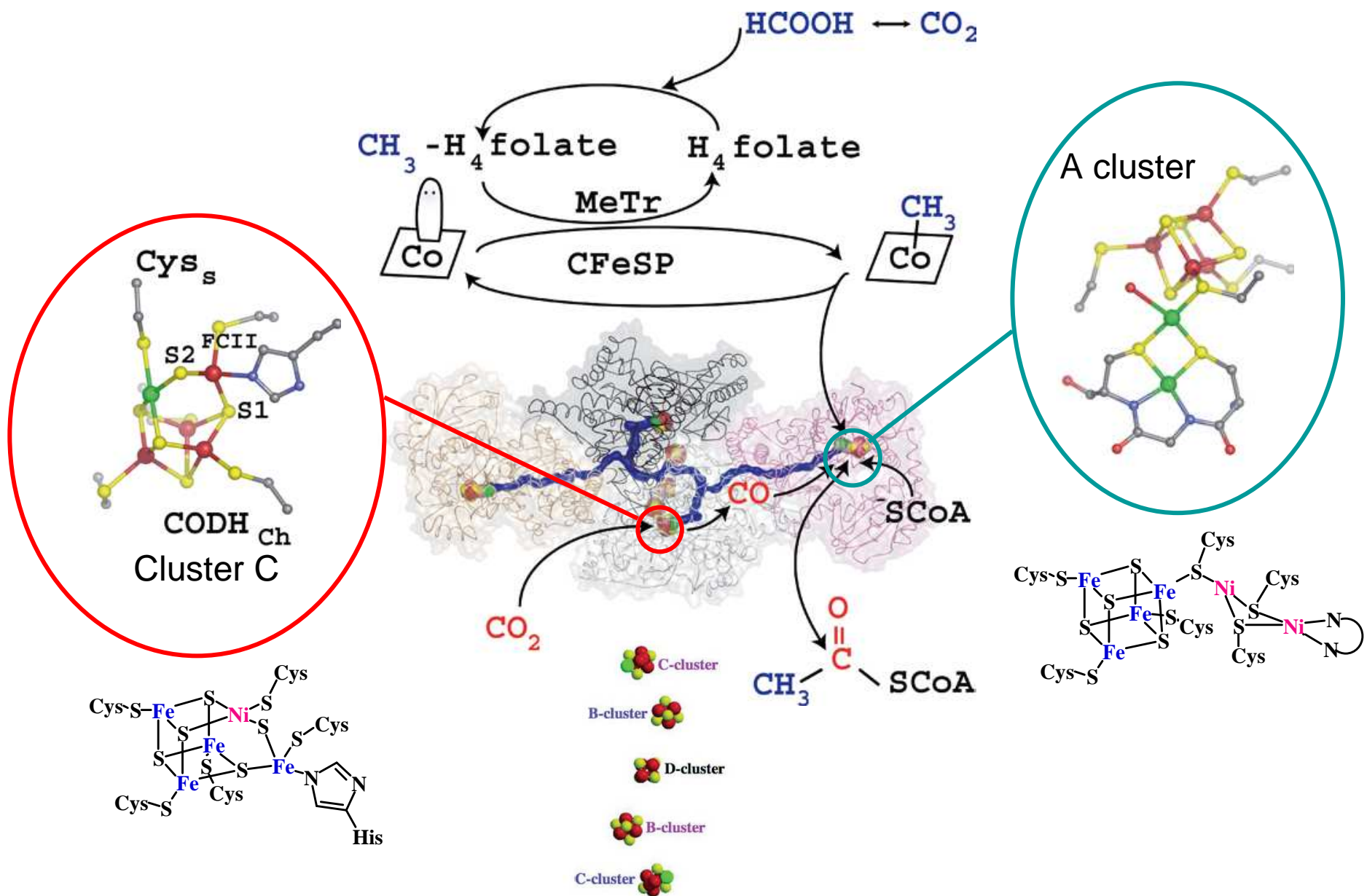
→ Surtensions faibles
→ Rendt fara: 100%

0.2V, pH8
0.5 mA.cm⁻²

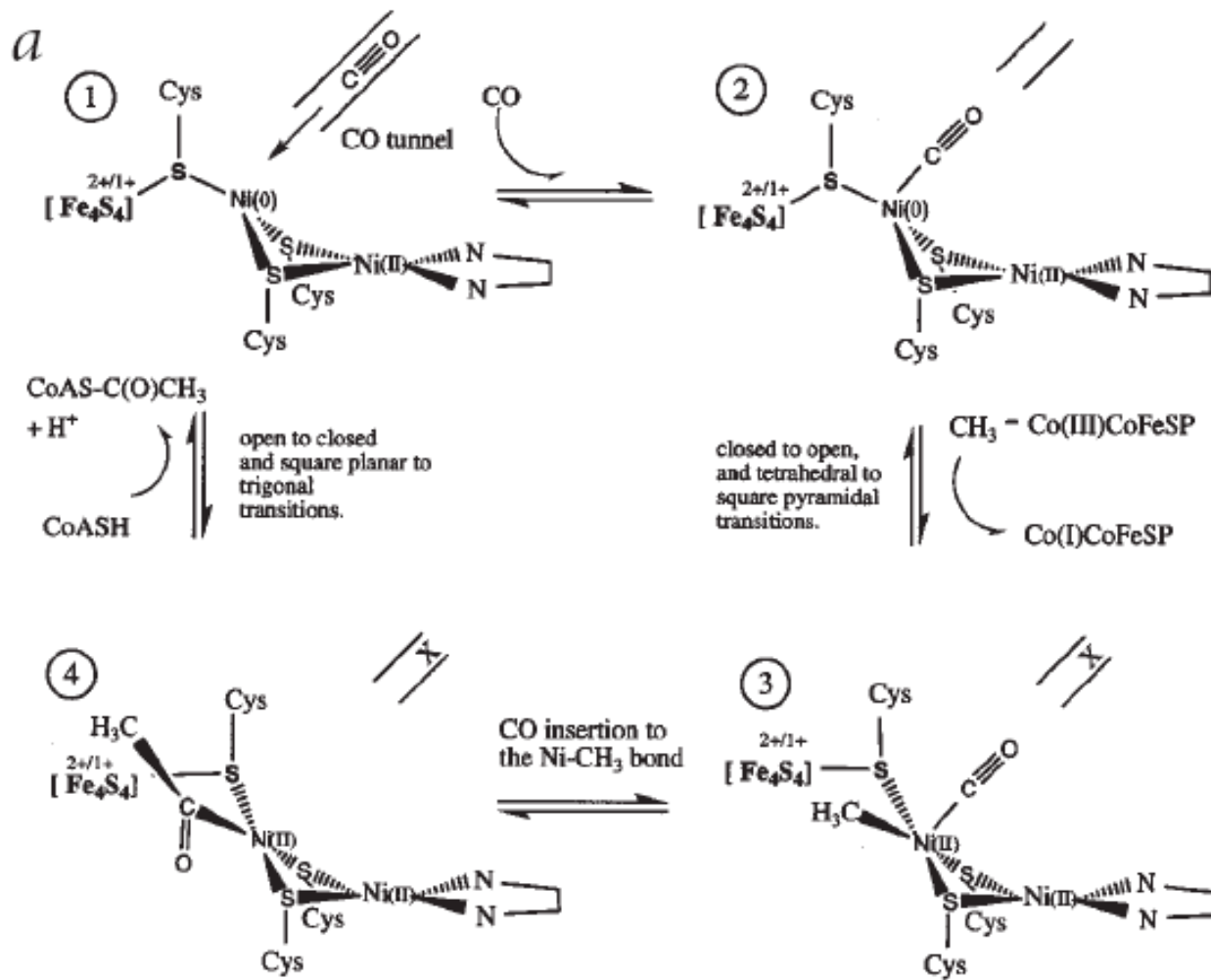
CO-dehydrogenase/acetyl-CoA synthase

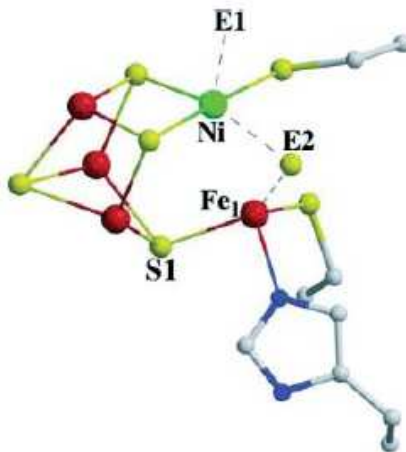


CO-dehydrogenase/acetyl-CoA synthase



Mécanisme ACS

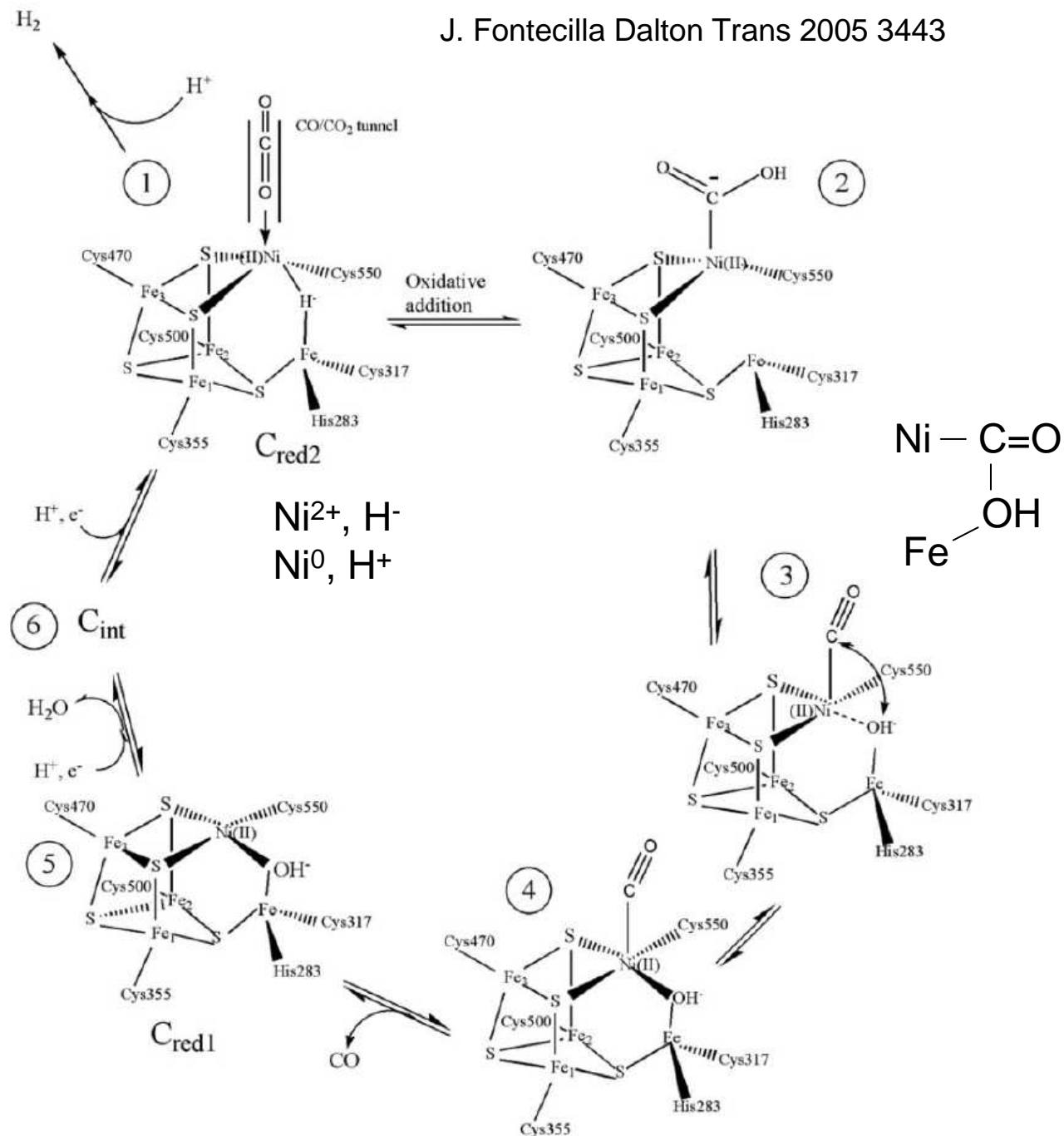


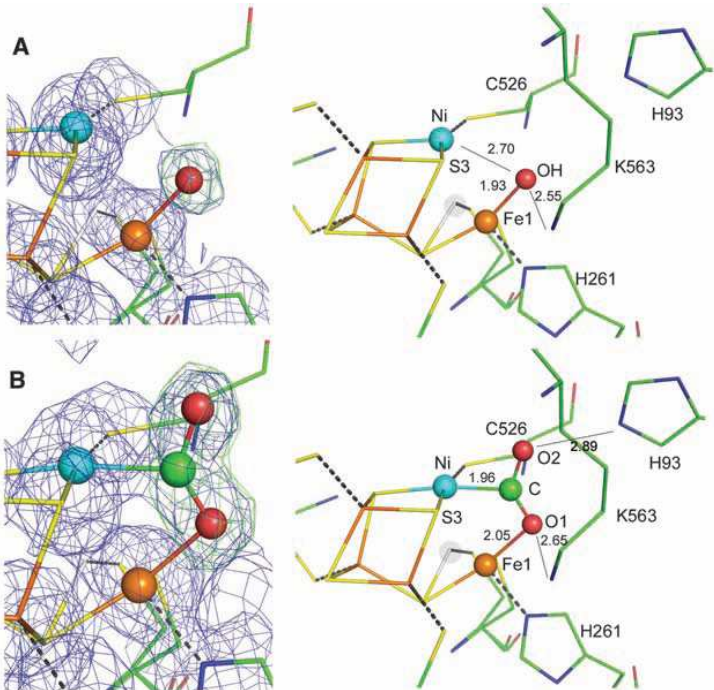


Mécanisme CODH

→ Ni-X-H
(X:H⁻?; OH⁻?)

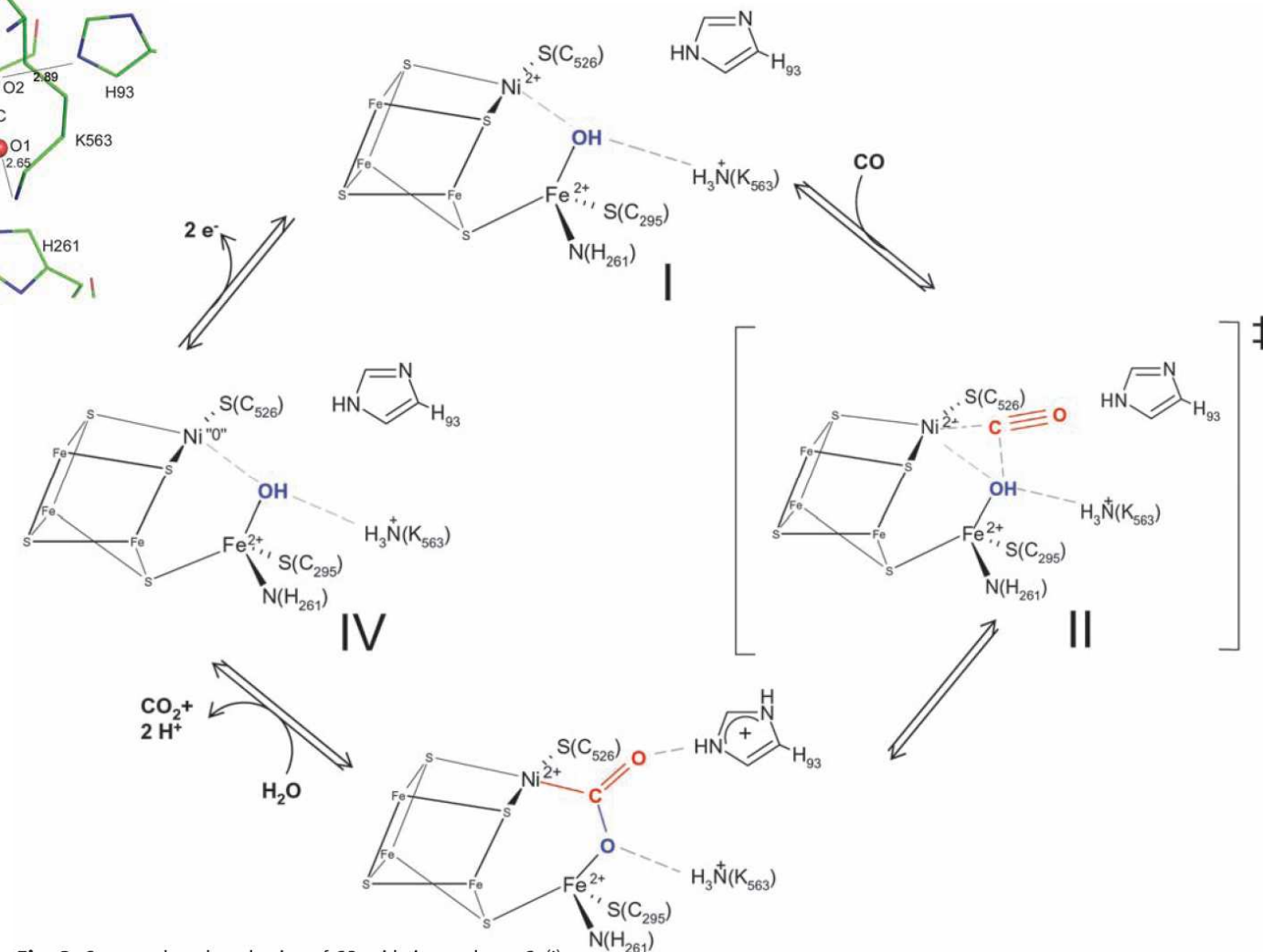
→ Ni^X
(X=2+?; 0?)



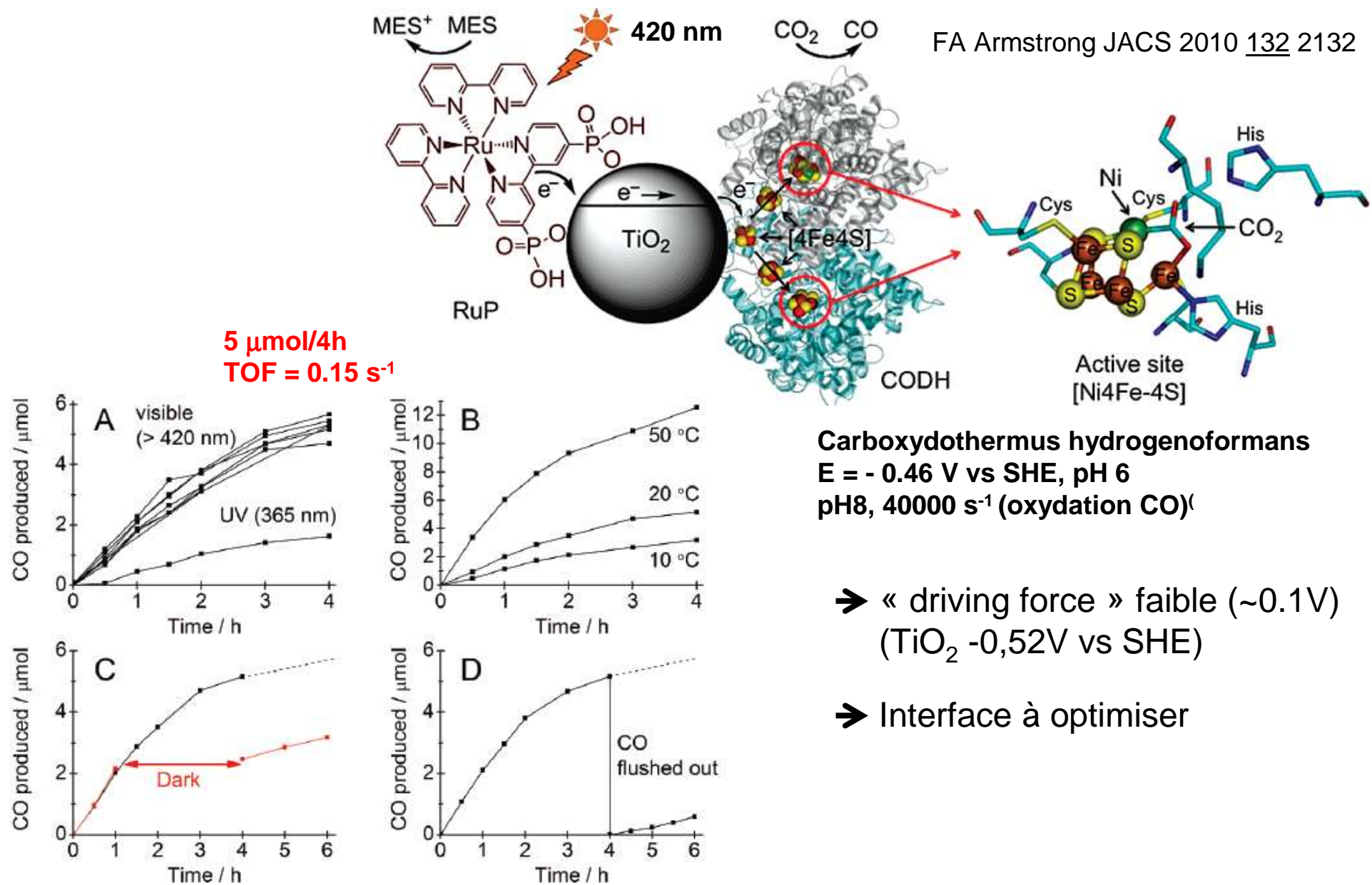


Carbon Dioxide Activation at the Ni,Fe-Cluster of Anaerobic Carbon Monoxide Dehydrogenase

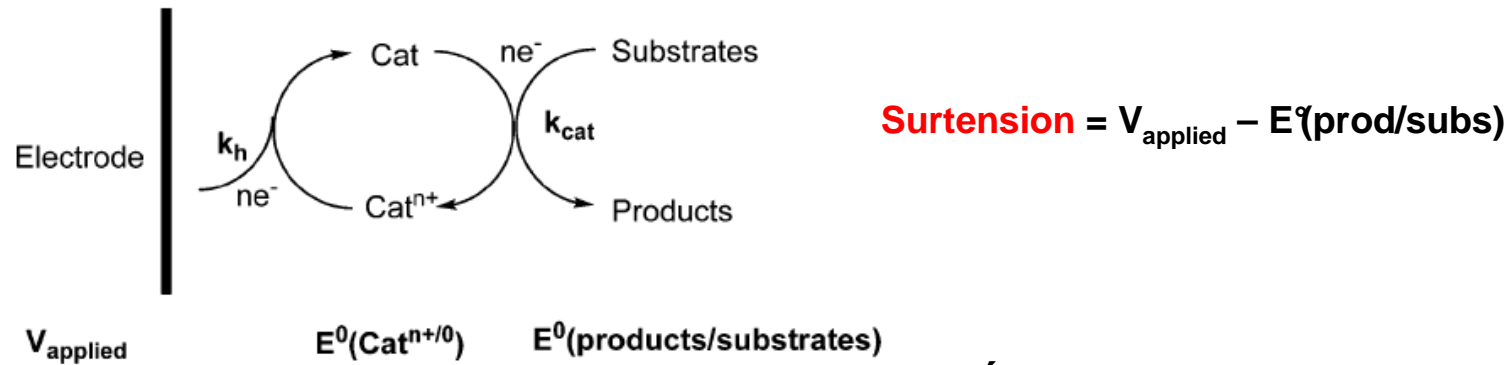
Jae-Hun Jeoung, *et al.*
Science **318**, 1461 (2007);



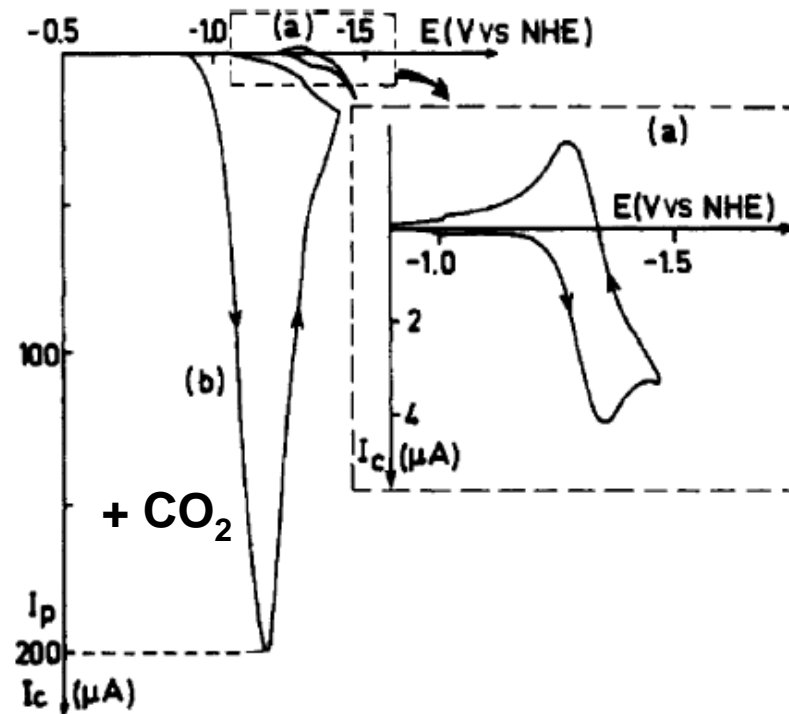
Photoréduction enzymatique de CO₂



Réduction électrochimique de CO_2

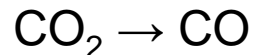
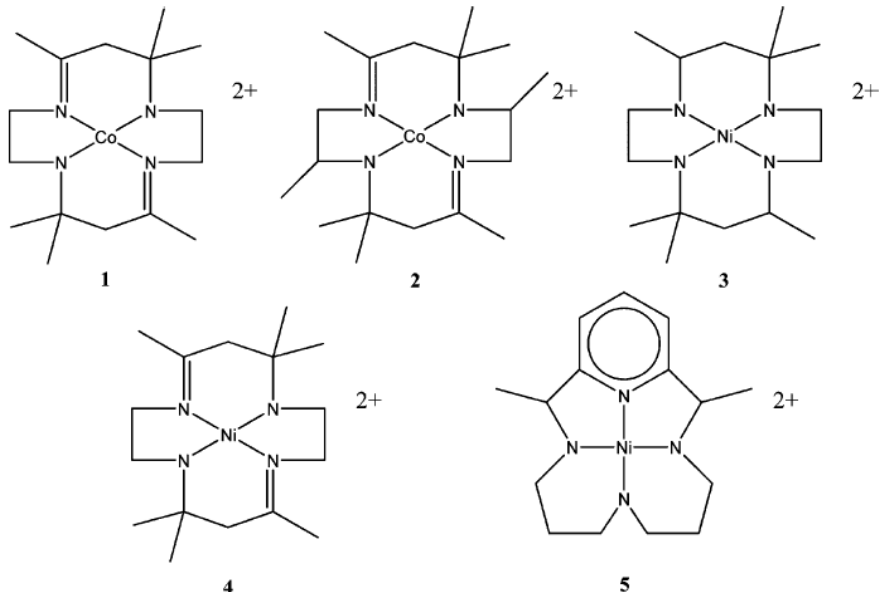


Étude par voltamétrie cyclique



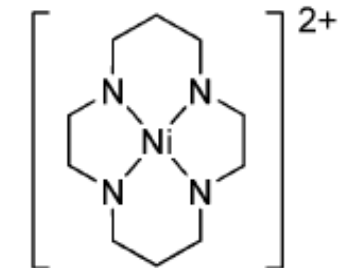
Eisenberg, 1980

- Surtension ~ 600 à 900 mV
- TOF ~ 2-9/h
- rendt 98%

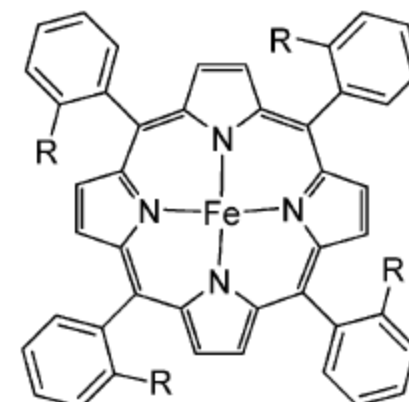


Sauvage, 1984-6

- Surtension ~ 300 mV
- rendt 96%



Ni(II)(cyclam)

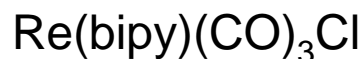
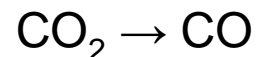


Fe(0) porphyrins

Savéant, 1996

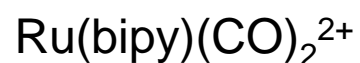
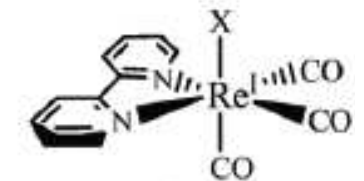
- Surtension ~ 700 mV
- TOF ~ 350/h
- dégradation du catalyseur

Electro-réduction du CO₂



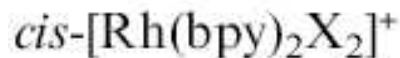
- Surtension ~ 600 mV
- TOF ~ 21/h
- rendt 98%

Lehn 1984



- Surtension ~ 600 mV
- faible activité
- faible sélectivité

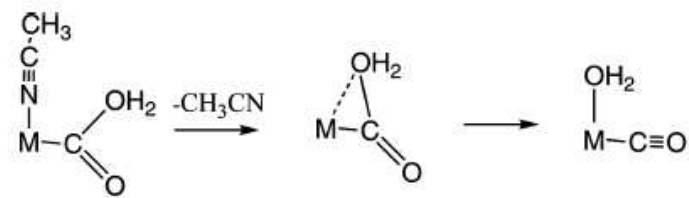
Tanaka 1987



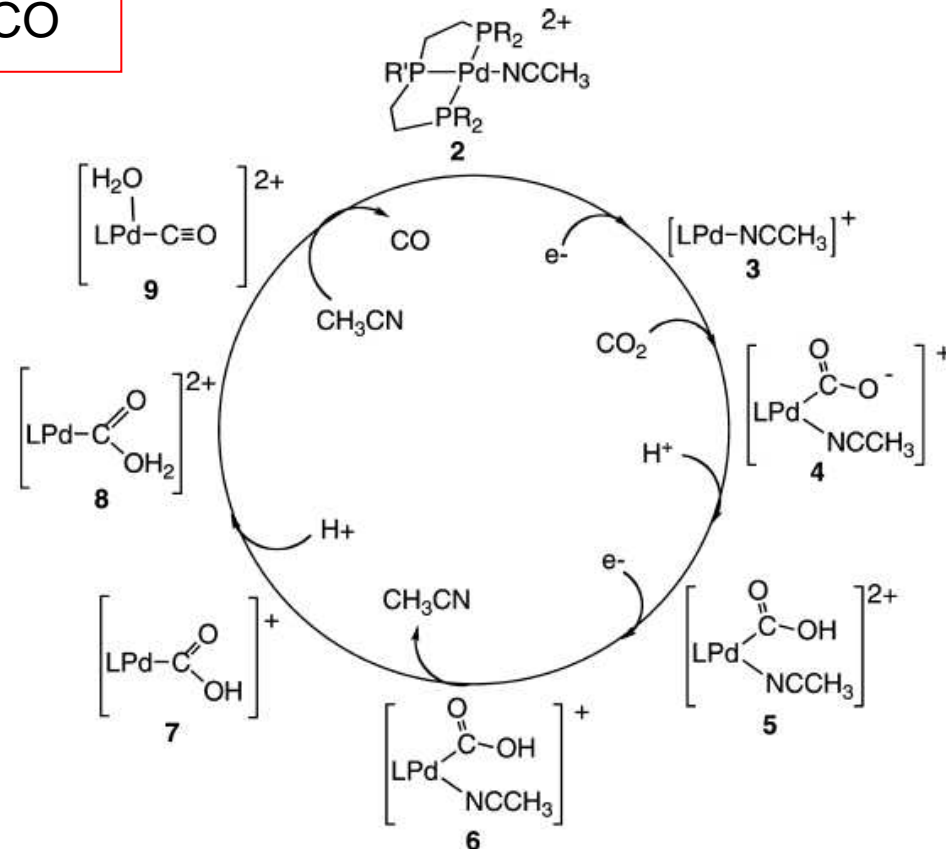
- Surtension ~ 800 mV
- faible activité (< 10 cycles)
- faible rendement

Meyer 1988

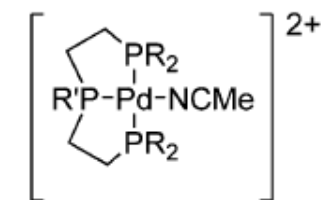
Pd-phosphines (Dubois DL; 1991-)



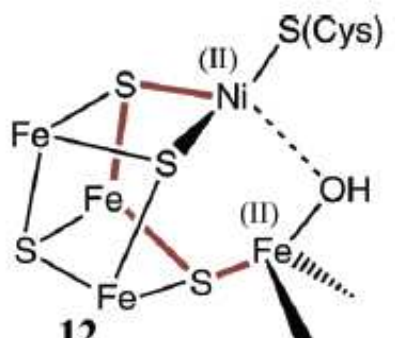
$\text{CO}_2 \rightarrow \text{CO}$



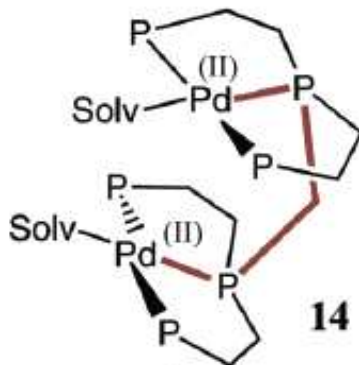
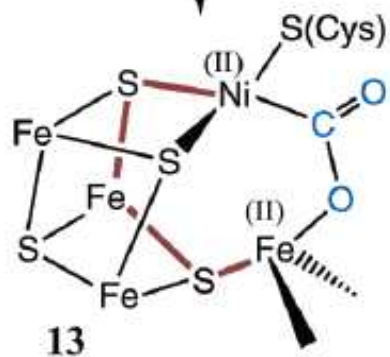
^a L = triphosphine ligand.



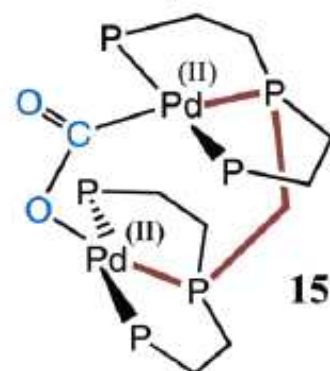
- Surtension ~ 100-300 mV
- cycles ~ 100
- rendt > 90%
- k ~ 10-300 M⁻¹s⁻¹



$2e^-$, CO_2 $-H_2O$



$2e^-$, CO_2 -2 Solv

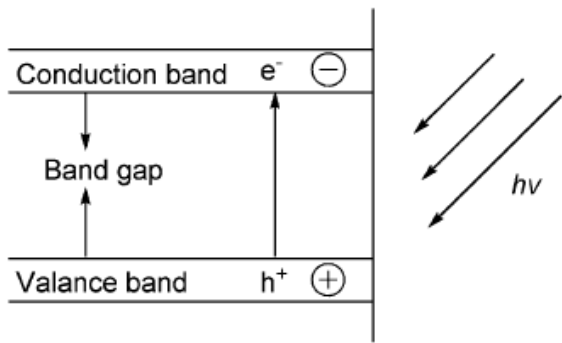


Complexe dinucléaire:

-Activité $\times 1000$

-Durée de vie \downarrow ($\text{Pd(I)}-\text{Pd(I)}$)

Photocatalyseurs : semiconducteurs



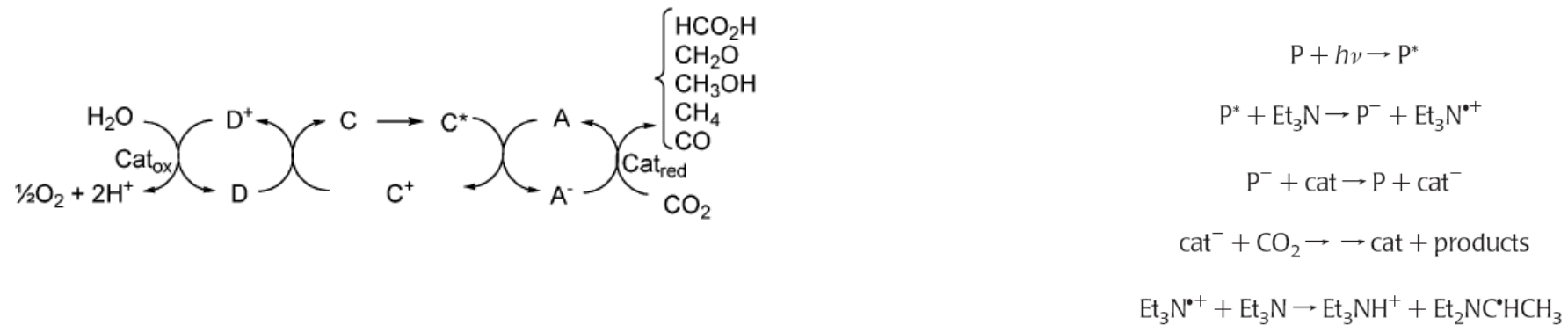
Photocatalyst	Reducant	Primary product(s)
TiO ₂ /zeolite	Water	CH ₃ OH
TiO ₂	H ₂	CO
TiO ₂ (P-25)	Isopropyl alcohol	CH ₄ , HCOOH
TiO ₂ nanocrystals in SiO ₂	Lithium nitrate/ 2-propanol	Formate, CO, NH ₃ , urea
Rh/TiO ₂	H ₂	CO, CH ₄
Pd/RuO ₂ /TiO ₂ ,	NaOH, aqueous	Formate
Pd/TiO ₂	Na ₂ SO ₃	
MgO	H ₂	CO
ZnO on activated carbon	—	CO, H ₂

$$CS = \frac{[\text{CO}_2 \text{ reduction products}]}{[\text{H}_2]}$$

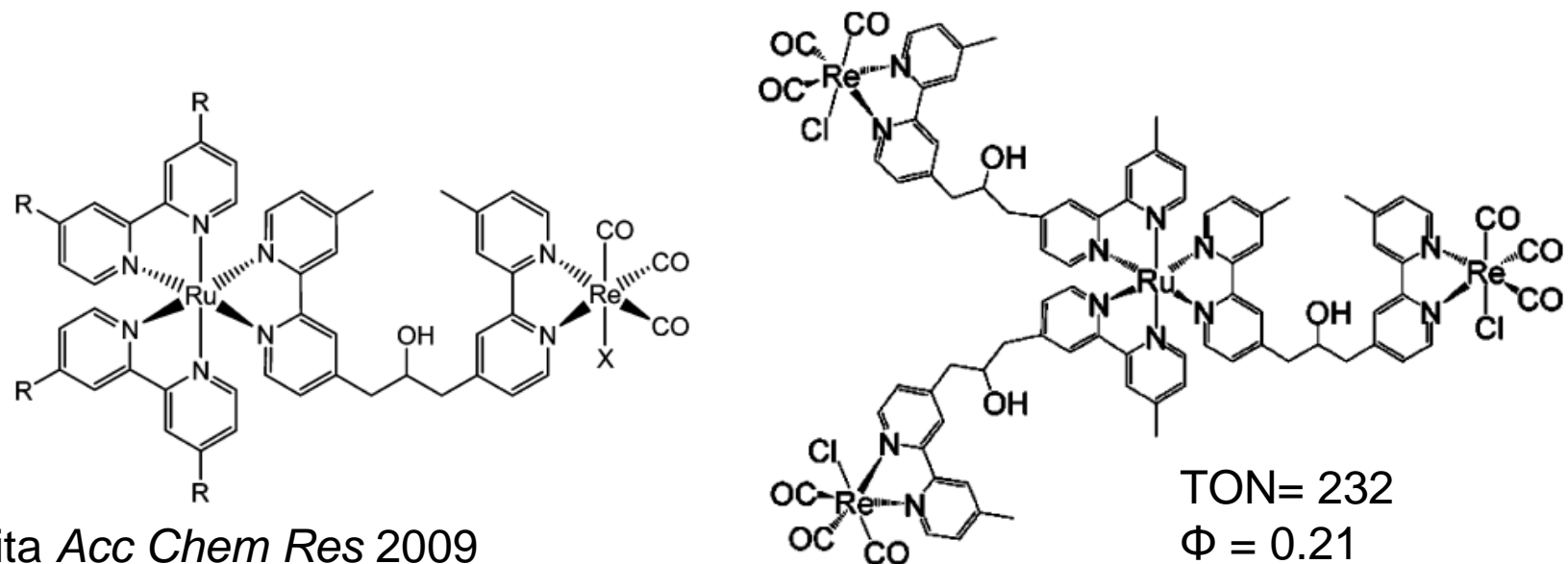
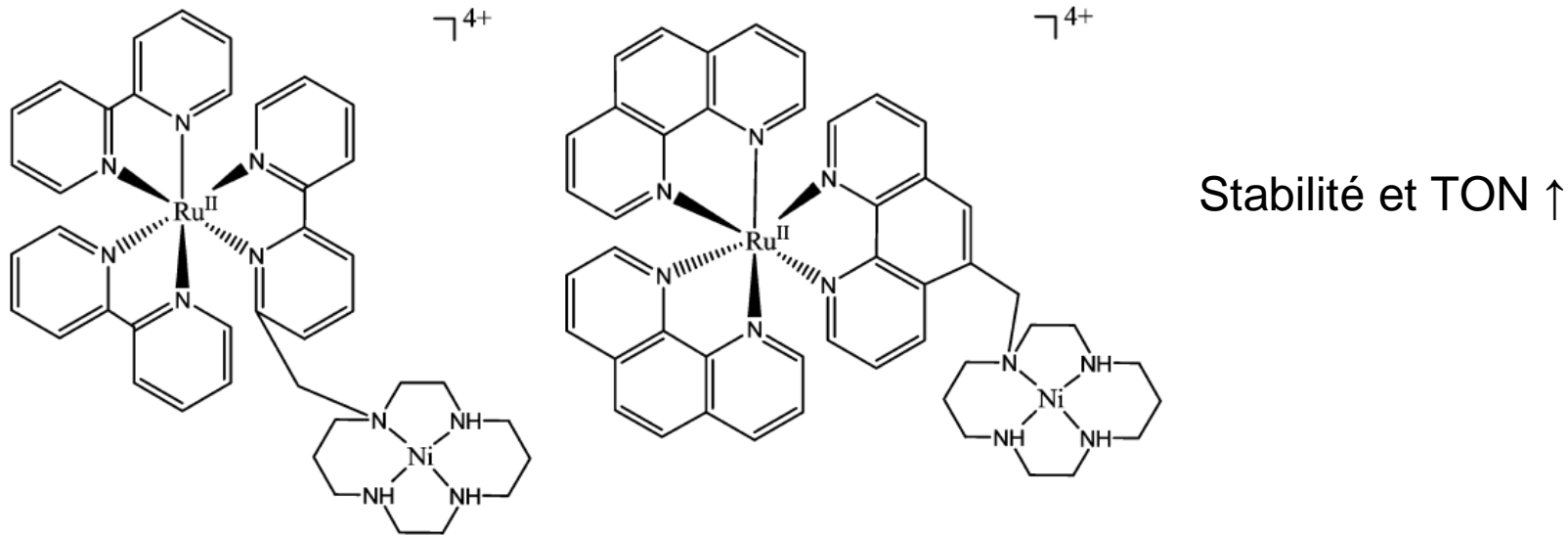
$$\phi = \frac{[\text{CO}_2 \text{ reduction products}]}{[\text{incident photons}]}$$

$$\text{Turnover Number (TN)} = \frac{[\text{CO}_2 \text{ reduction products}]}{[\text{catalyst}]}$$

Réduction photochimique de CO₂



Sensitizer	Catalyst or relay	Donor	Product/s	ϕ^b (mol/Einstein)
Ru(bpy) ₃ ²⁺		TEOA	HCOO ⁻	0.049 ^c
Ru(bpy) ₃ ²⁺		TEOA	HCOO ⁻	0.096 ^d
Ru(bpy) ₃ ²⁺	MV ²⁺	TEOA	HCOO ⁻	0.01
Ru(bpy) ₃ ²⁺	Co ²⁺ /bpy	TEA	CO, H ₂	
Ru(bpy) ₃ ²⁺	Co ²⁺ /Me ₂ phen	TEA	CO, H ₂	0.012 (CO), 0.065 (H ₂)
Ru(bpy) ₃ ²⁺	Ru(bpy) ₂ (CO) ₂ ²⁺	TEOA	HCOO ⁻	0.14
Ru(bpy) ₃ ²⁺	Ru(bpy) ₂ (CO) ₂ ²⁺	BNAH	HCOO ⁻ , CO	0.03 (HCOO ⁻), 0.15 (CO)
Ru(bpy) ₃ ²⁺	Ru(bpy) ₂ (CO)(H) ⁺	TEOA	HCOO ⁻	0.15
Ru(bpy) ₃ ²⁺	Ru(bpy) ₂ (CO)(X) ⁿ⁺ , X = Cl and Co	TEOA	HCOO ⁻	
Ru(bpy) ₃ ²⁺	CoHMD ²⁺	H ₂ A	CO, H ₂	
Ru(bpy) ₃ ²⁺	Nicyclam ²⁺	H ₂ A	CO, H ₂	0.001 (CO)
Ru(bpy) ₃ ²⁺	NiPr-cyclam ²⁺ ^a	H ₂ A	CO, H ₂	Ca. 0.005 (CO)
Ru(bpz) ₃ ²⁺	Ru colloid	TEOA	CH ₄ , H ₂	10 ⁻⁴ (CH ₄) ^e
Ru(bpy) ₃ ²⁺	Bipyridinium ⁺ , Ru or Os colloid	TEOA	CH ₄ , H ₂	10 ⁻⁴ (CH ₄) ^e 10 ⁻³ (H ₂) ^e
ReCl(bpy)(CO) ₃		TEOA	CO	0.14
ReCl(bpy)(CO) ₃		TEOA	CO	0.15
[ReP(OEt) ₃ (bpy)(CO) ₃] ⁺		TEOA	CO	0.38
p-Terphenyl	Cocyclam ³⁺	TEOA	CO, HCOO ⁻ , H ₂	0.25 (CO + HCOO ⁻)
p-Terphenyl	CoHMD ²⁺	TEOA	CO, HCOO ⁻ , H ₂	
Phenazine	Cocyclam ³⁺	TEOA	HCOO ⁻	0.07 ^e
FeTPP		TEA	CO	
CoTPP		TEA	HCOO ⁻ , CO	



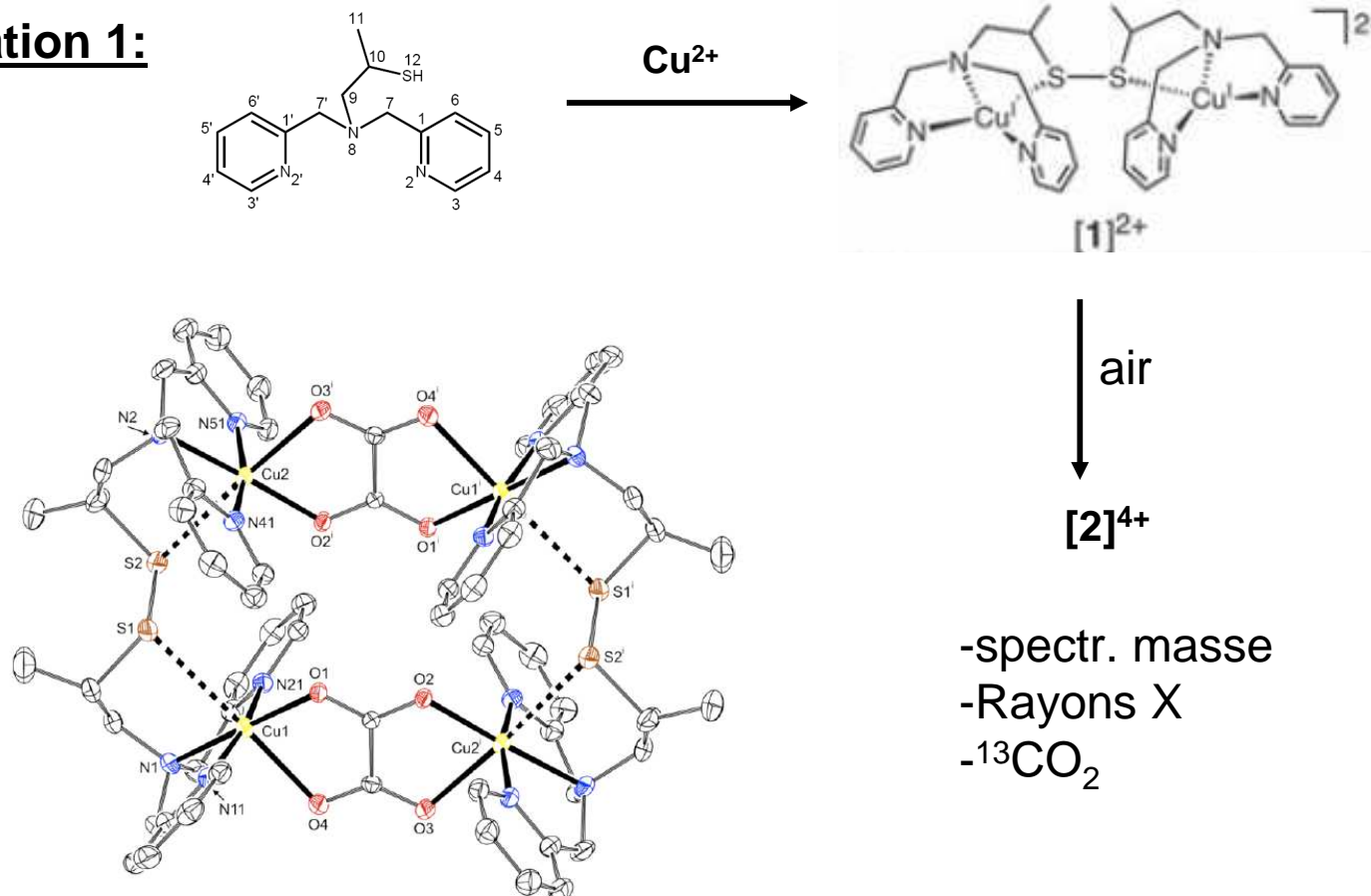
E Fujita Acc Chem Res 2009

Electroréduction du CO₂ en oxalate

Electrocatalytic CO₂ Conversion to Oxalate by a Copper Complex

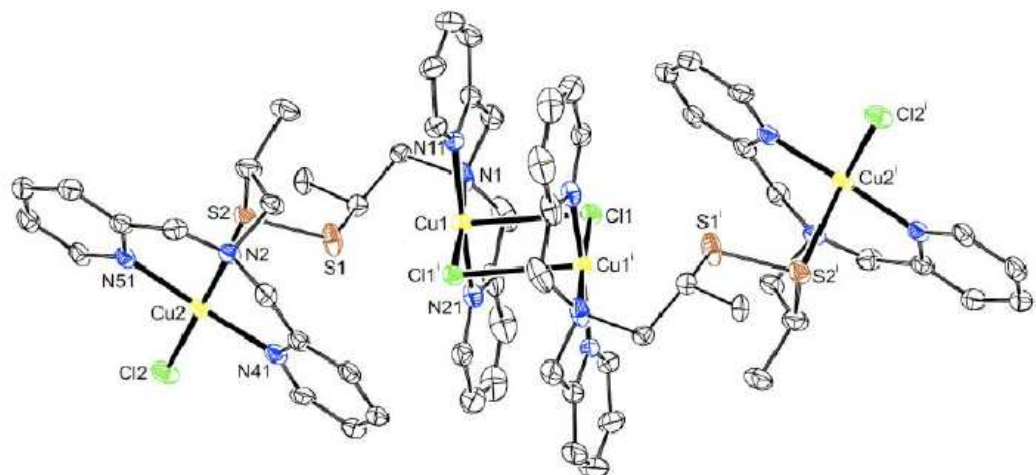
Raja Angamuthu, et al.
Science 327, 313 (2010);

Observation 1:



-spectr. masse
-Rayons X
 $^{13}\text{CO}_2$

Observation 2:

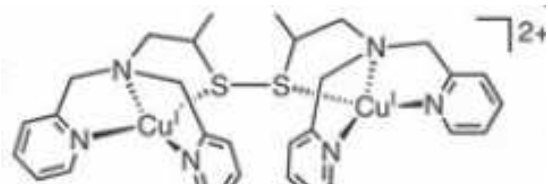
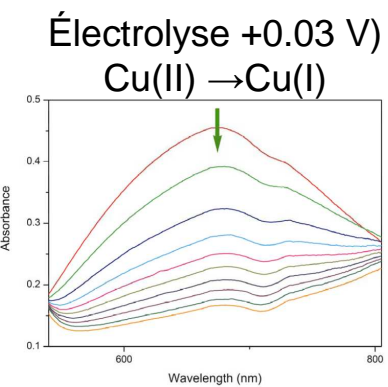


[2]⁴⁺

HCl
- acide oxalique

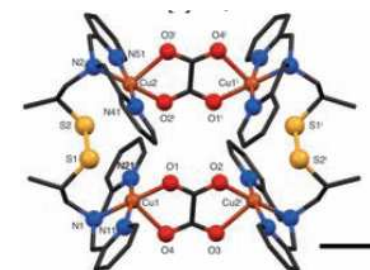
[3]⁴⁺ E= + 0.06V (ENH)

Observation 3: [3]⁴⁺ 1. électrolyse
+0.03 V
100%

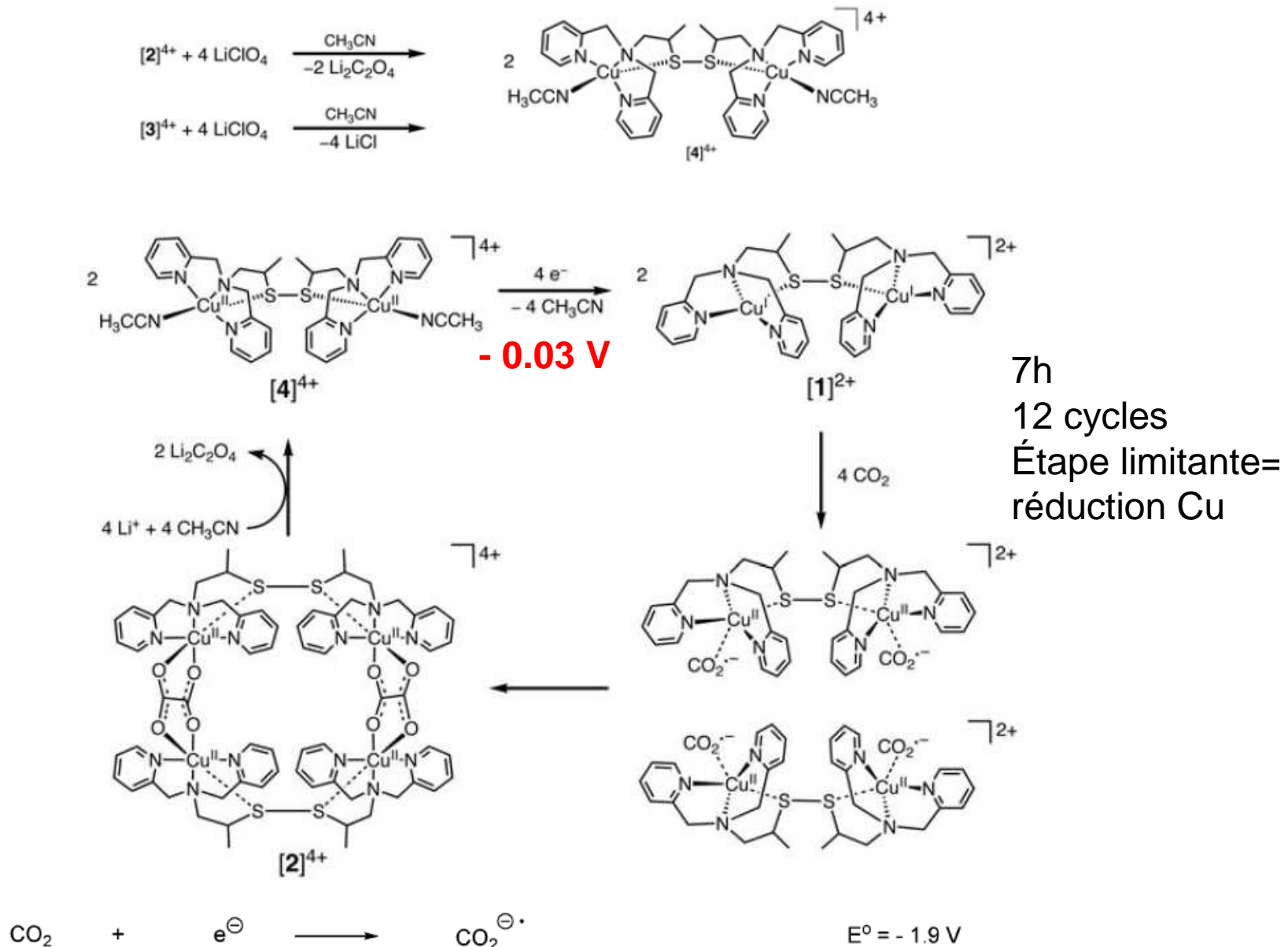


[1]²⁺

2. CO_2
[2]⁴⁺



Observation 4: Réactivité de **2** en présence de LiClO_4
 Utilisation de **2** comme électrocatalyseur en présence de LiClO_4





CO₂, une source de carbone abondante : activation et réduction

Marc Fontecave

*Laboratoire de Chimie et Biologie des Métaux, Université Joseph Fourier, CNRS, CEA/DSV/iRTSV
CEA-Grenoble 17 rue des martyrs 38054 Grenoble cedex 9, France
mfontecave@cea.fr; Phone: (0033)438789103 ; Fax: (0033)438789124*

Collège de France, 11 Place Marcelin Berthelot, 75231 Paris Cedex 05

